

LP12 - Traitement d'un signal Étude spectrale

Niveau : Licence

Pré-Requis : Électromagnétique

Oscilloscope

Effet Doppler

Matériel :

Micro + Ampli + Enceinte

Oscilloscope

PC + Regressi + Latis Pro + Carte Acquisition

Banc Doppler

Boîtes à dérives (R et C), solénoïdes

Fils, coaxes. RLC-mètre

Introduction

- Lorsqu'on observe un phénomène physique, on cherche à le décrire quantitativement en utilisant une ou plusieurs grandeurs physiques. La mesure d'une de ces grandeurs produit un signal, souvent de nature électrique : une tension ou un courant est l'image par un capteur de la grandeur mesurée. Un signal est donc une forme physique d'une information, transmise depuis sa source à son destinataire.
- Il faut ensuite "faire porter" le signal, c'est à dire en extraire l'information qui nous intéresse. Les signaux sont souvent transformés, pour les adapter à un mode de transmission particulier, pour pouvoir mieux les analyser (amplification, élimination du bruit, choix d'une représentation).

I - Représentations temporelle et fréquentielle d'un signal

1° Signal et représentation temporelle

Lorsqu'on observe un phénomène, on cherche à le décrire en utilisant une ou plusieurs grandeurs physiques. La mesure d'une de ces grandeurs produit un signal, souvent de nature électrique. Un courant ou une tension est l'image de la grandeur mesurée.

La représentation la plus naturelle pour nous est une représentation temporelle : $s(t)$ avec $t \in \mathbb{R}$, le temps

L'évolution d'un signal dans le temps peut nous renseigner sur certaines de ses propriétés, par exemple la périodicité.

Ex: signal sinusoïdal de période T :

$$s(t) = S_0 \sin\left(\frac{2\pi}{T}t\right) \Rightarrow s(t) = s(t+T)$$

signal carré de période T

$$s(t) = \begin{cases} S_0 & \text{si } t \in [0, \frac{T}{2}[\\ -S_0 & \text{si } t \in [\frac{T}{2}, T[\end{cases}$$

On peut en extraire une amplitude moyenne, une amplitude efficace

$$S_{\text{moy}} = \frac{1}{T} \int_0^T dt \, s(t)$$

$$S_{\text{eff}} = \sqrt{\frac{1}{T} \int_0^T dt \, s^2(t)}$$

2° Représentation fréquentielle d'un signal périodique

On définit la fréquence d'un signal périodique comme

$$f = \frac{1}{T} \quad \text{où } f \text{ est mesurée en Hz (s}^{-1}\text{)}$$

Tout signal périodique peut être décomposé sous la forme d'une superposition de signaux sinusoïdaux de fréquences $f_m = m f$ où $m \in \mathbb{N}$

Ainsi,

$$s(t) = \sum_{m=0}^{\infty} \left(\overset{\text{coefficient de Fourier}}{a_m} \cos(2\pi f_m t) + b_m \sin(2\pi f_m t) \right) \quad f_m = m f$$

avec $a_m = \frac{2}{T} \int_0^T s(t) \cos(2\pi m f t) dt$, $b_m = \frac{2}{T} \int_0^T s(t) \sin(2\pi m f t) dt$

ici $f_m = f$ est la fréquence du mode fondamental

$f_m = m f$ est la fréquence de l'harmonique de rang d'ordre m, $m \in \mathbb{Z}$

Par s'en souvenance, un exemple : décomposition d'un signal carré

\Rightarrow on vérifie la périodicité

$$T=2 \quad s(t) = \begin{cases} 1 & \text{si } 0 \leq t < 1 \\ -1 & \text{si } 1 \leq t < 2 \end{cases}$$

$$\Rightarrow s(t) = s(t+T)$$

\Rightarrow on donne les résultats

$$a_0 = 0; \quad a_m = \dots; \quad b_m = \dots$$

$$s(t) = \frac{4}{\pi} \sum_{k=1}^{\infty} \frac{1}{m} \sin(m \pi t) \quad \text{car } m = 2k-1 \quad \text{que des harmoniques impaires}$$

\Rightarrow Scilab, superposition pour un signal carré

Symétries : lien entre la parité d'une fonction et ses coefficients de Fourier

Fonction paire $s(t) = s(-t) \Rightarrow b_m = 0$: série de cosinus

impair $s(t) = -s(-t) \Rightarrow a_m = 0$: série de sinus

• Pq la fonction périodique doit remplir les conditions de Dirichlet.

$f(t)$ valeur unique sur son ensemble de définition

$f(t)$ nombre fini de discontinuités finies sur n'importe quelle portion de son ensemble de définition

$f(t)$ nombre fini de valeurs maximales et minimales sur n'importe //

$$\int_{t_0}^{t_0+T} |f(t)| dt < \infty \quad \forall t_0$$

• Séries exponentielles de Fourier : on développe $\sin(mu t)$ et $\cos(mu t)$, on

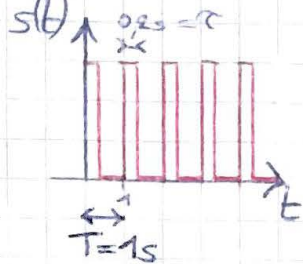
définit c_m : $c_0 = a_0$; $c_m = \frac{a_m - j b_m}{2} \quad (m > 0)$ et $c_{-m} = \frac{a_m + j b_m}{2} \quad (m > 0)$

alors $s(t) = \sum_{m=-\infty}^{\infty} c_m e^{j m \omega t}$ avec $c_m = \frac{1}{T} \int_0^T f(t) e^{-j m \omega t} dt$

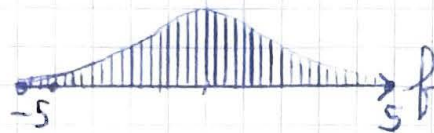
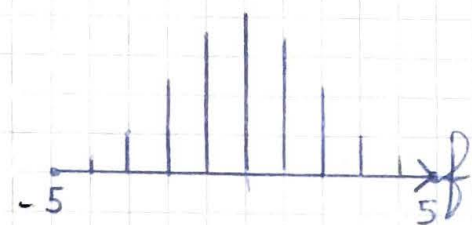
On définit le spectre d'amplitude : $|c_m(f)|$
le spectre de phase : $\arg[c_m(f)]$

3% Étude spectrale d'un signal non périodique (Sadiku p 809)

Soit un ensemble d'impulsions carrées, périodique



⇒ éventuellement Scilab



Au fur et à mesure que T augmente

$\Delta f = f_{max} - f_{min}$
diminue

Si $T \rightarrow \infty$ (une seule période, donc signal non périodique), $\Delta f \rightarrow 0$

⇒ spectre continu :

$$\sum_{n=-\infty}^{+\infty} \rightarrow \int_{-\infty}^{+\infty} ; \Delta \omega \rightarrow d\omega \text{ et } m\omega \rightarrow \omega ; c_m \rightarrow \tilde{f}(\omega)$$

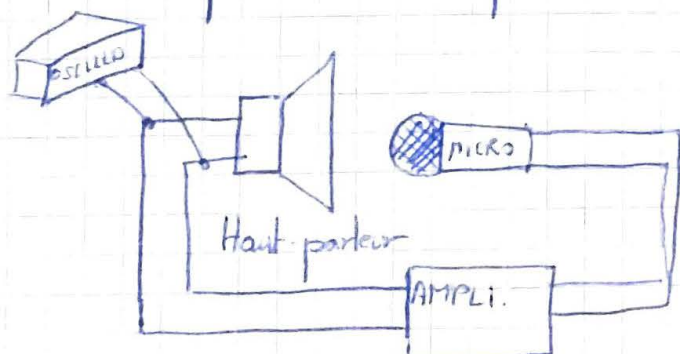
d'où

$$f(t) = \frac{1}{2\pi} \int_{-\infty}^{+\infty} \tilde{f}(\omega) e^{j\omega t} d\omega \text{ avec } \tilde{f}(\omega) = \int_{-\infty}^{+\infty} f(t) e^{-j\omega t} dt$$

Rq: $\tilde{f}(-\omega) = \tilde{f}^*(\omega) \Rightarrow |\tilde{f}(-\omega)| = |\tilde{f}(\omega)|$
⇒ on ne regarde que $\omega > 0$

TRANSFORMÉE DE FOURIER
⇒ spectre

⇒ Représentation spectrale d'un signal caractérisation de l'effet Larsen



Harmoniques ⇒ saturation liée au burlage

- Déclencher un Larsen, expliquer le principe
- Acquisition (single run)
- Transformée de Fourier à l'oscillo
⇒ discuter le spectre, mesurer la fréquence du pic Larsen.

Le signal nuisible précédent se résume à un pic de fréquence dans l'espace de Fourier.

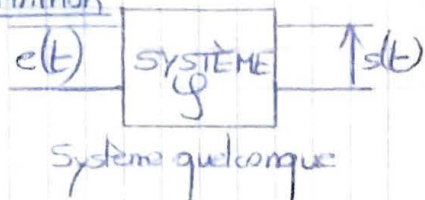
II - Filtrage linéaire

Peut-on filtrer / atténuer / éliminer ce pic, et donc éliminer l'effet Larsen?

Le filtrage linéaire est un exemple de traitement du signal linéaire que nous allons détailler

1° Système linéaire

• Définition



Soit \mathcal{F} l'opération exercée par le système \mathcal{S} sur le signal d'entrée $e(t)$, conduisant au signal de sortie $s(t)$. $s(t) = \mathcal{F}(e(t))$

Si le système est linéaire, alors \mathcal{F} est linéaire.

$$\text{et } \mathcal{F}(\lambda_1 e_1(t) + \lambda_2 e_2(t)) = \lambda_1 \mathcal{F}(e_1(t)) + \lambda_2 \mathcal{F}(e_2(t)) \quad \lambda_1, \lambda_2 \in \mathbb{C}$$
$$= \lambda_1 s_1(t) + \lambda_2 s_2(t)$$

\Rightarrow Traitement d'une somme de signaux \Leftrightarrow somme des signaux traités individuellement

\Rightarrow Un traitement linéaire n'ajoute pas de nouvelles fréquences au signal

• Utilité de la représentation spectrale:

$$e(t) = \frac{1}{2\pi} \int_{-\infty}^{+\infty} \tilde{E}(\omega) e^{j\omega t} d\omega \quad \text{où } \tilde{E}(\omega) \text{ est le spectre de l'entrée}$$

$$s(t) = \mathcal{F}(e(t)) = \frac{1}{2\pi} \int_{-\infty}^{+\infty} \tilde{E}(\omega) \mathcal{F}(e^{j\omega t}) d\omega \quad \text{par linéarité, et } \mathcal{F} \text{ agissant sur } t$$

Si on sait calculer $\mathcal{F}(e^{j\omega t})$, on connaît $s(t) \forall e(t)$.

Les fonctions $e^{j\omega t}$ formant une base propre des opérateurs linéaires

$$\mathcal{F}(e^{j\omega t}) = H(\omega) e^{j\omega t} \quad \text{où}$$

$H(\omega)$ réponse harmonique ou fonction de transfert

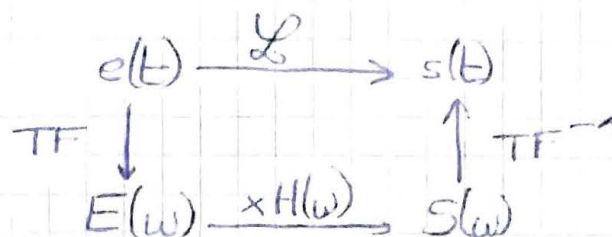
et

$$s(t) = \frac{1}{2\pi} \int_{-\infty}^{+\infty} \tilde{E}(\omega) H(\omega) e^{j\omega t} d\omega = \frac{1}{2\pi} \int_{-\infty}^{+\infty} \tilde{S}(\omega) e^{j\omega t} d\omega$$

spectre de $s(t)$

Par complétude de la base

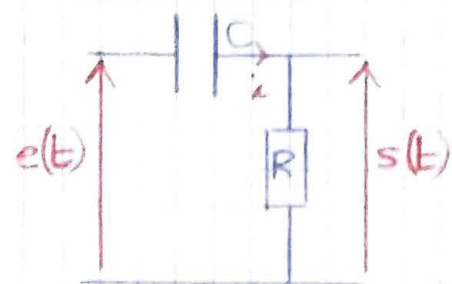
$$H(\omega) \triangleq \frac{S(\omega)}{E(\omega)}$$



2°/ Filtre linéaire d'ordre 1

• Ordre d'un filtre on peut toujours écrire $H(j\omega) = \frac{N(j\omega)}{D(j\omega)}$ où N et D sont des polynômes en $j\omega$. L'ordre de D est l'ordre du filtre.

• Cellule CR:



• Pour un filtre d'ordre 1,

$$H(j\omega) = \frac{N(j\omega)}{1+j\omega\tau}$$

où $\tau = \frac{1}{\omega_{ref}}$, où ω_{ref} est une pulsation caractéristique du circuit. $N(j\omega)$ polynôme de degré 0 ou 1.

On a $e(t) = R i(t) + \int \frac{1}{C} i(t) dt$, or on cherche des solutions du type $g(t) = G(\omega) e^{j\omega t}$
 $\Rightarrow E(\omega) = R I(\omega) + \frac{I(\omega)}{j\omega C}$, et de même $S(\omega) = R I(\omega) \Rightarrow$ impédance

d'où $H(\omega) = \frac{j\omega\tau}{1+j\omega\tau}$ avec $\omega_{ref} = \frac{1}{RC}$

On définit:

• le gain en tension en décibels dB

$$G(\omega) = 20 \log_{10} |H(\omega)|$$

R_g en puissance on met un 10

• le déphasage en radians rad

$$\phi(\omega) = \arg[H(\omega)]$$

entre la sortie et l'entrée

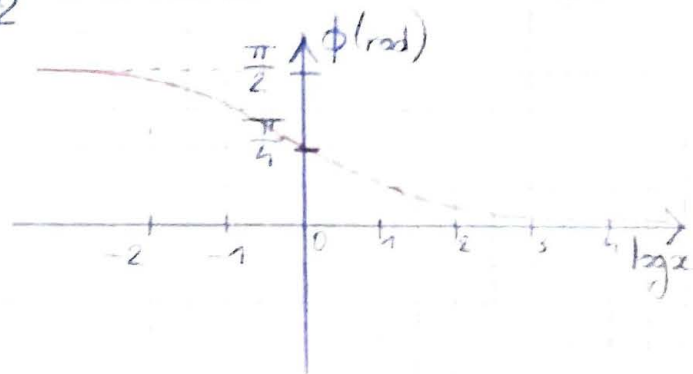
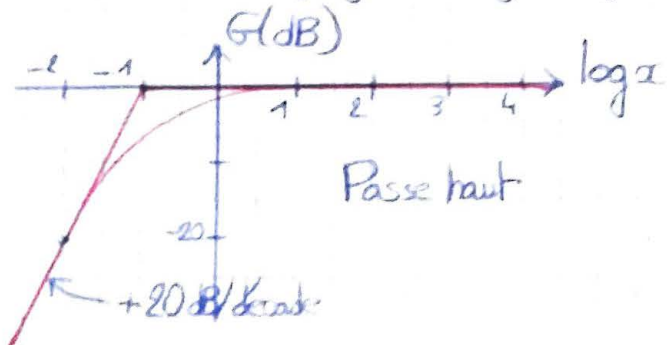
Le diagramme de Bode est constitué des deux courbes $G(\omega)$ et $\phi(\omega)$

ex. cellule CR

$$G(x) = 20 \log \frac{x}{\sqrt{1+x^2}} = 20 \log x - 10 \log (1+x^2)$$

Si $x \rightarrow 0$ $G(x) \rightarrow 20 \log x$. Si $x \rightarrow \infty$ $G(x) \rightarrow 0$

$$\phi(x) = \arg(jx) - \arg(1+jx) = \frac{\pi}{2} - \arctan x$$



Interprétation aux limites \Leftrightarrow diagramme asymptotique:

Si $\omega \rightarrow 0$: rien ne passe à cause du condensateur : $Z_C \rightarrow \infty$ (condensateur = interrupteur ouvert)
 Si $\omega \rightarrow \infty$: le condensateur se comporte comme un fil

• Bande passante et coupure:

Bande passante : intervalle de fréquences tel que

$$G(\omega) > G(\omega_c) = G_{\text{MAX}} - 3\text{dB}$$

où G_{MAX} : gain maximal

ω_c : pulsation de coupure : $G(\omega_c) = G_{\text{MAX}} - 3\text{dB}$

Par le CR: $G_{\text{MAX}} = 0$, d'où $\omega_c = ?$

$$-3 = 20 \log \frac{x}{\sqrt{1+x^2}} \Rightarrow x = 1 \Rightarrow \omega_c = \omega_{\text{rf}} = \frac{1}{RC}$$

⇒ Interprétation intelligente:

$$G(\omega_c) = G_{\text{MAX}} - 3\text{dB} \Leftrightarrow H(\omega_c) = \frac{H_{\text{MAX}}}{\sqrt{2}} \Leftrightarrow S = \frac{E}{\sqrt{2}}$$

⇒ on divise la puissance maximale par 2 à $\omega = \omega_c$.

3°/ Filtre linéaire d'ordre 2

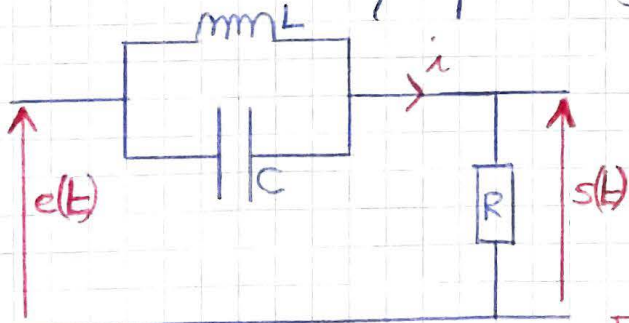
• Un filtre linéaire d'ordre 2 a une fonction de transfert de la forme:

$$H(j\omega) = H_0 \frac{-a\omega^2 + jbw + c}{-a'\omega^2 + jbw + c'} \quad a, b, c, a', b', c' \text{ réels } \geq 0$$

• Les FL d'ordre 1 n'ont qu'une fréquence de coupure ⇒ passe bas ou passe haut

Les FL d'ordre 2 peuvent en avoir 2 ⇒ passe bas, passe haut (si 1 fréquence)
passe bande, coupe bande (si 2 fréquences)

Par élimination du Larsen, on peut envisager un filtre coupe-bande



$$S(\omega) = I(\omega) R$$

$$E(\omega) = I(\omega) \left(R + \frac{Z_C Z_L}{Z_L + Z_C} \right) \quad \begin{aligned} Z_L &= j\omega L \\ Z_C &= \frac{1}{j\omega C} \end{aligned}$$

$$H(\omega) = \frac{R(1 - L C \omega^2)}{j\omega L + R(1 - L C \omega^2)}$$

$$H(\omega) = \frac{\omega_{\text{RF}}^2 - \omega^2}{\omega_{\text{RF}}^2 - \omega^2 + j \frac{L}{R} \omega \omega_{\text{RF}}^2}$$

$$\omega_{\text{RF}} = \frac{1}{\sqrt{LC}}$$

⇒ Tracer le Bode par décades : 1 et 3 puis densifier autour du pic
composants : pour $f_{ref} \sim 9 \text{ kHz}$ $L = 22 \text{ mH}$
 $C = 142 \text{ nF}$
 $R = 100 \Omega$

On choisit L et C de façon à ce que la bande rejetée corresponde au spectre du Larsen. Minimiser R par accroître l'atténuation.

$$G = 20 \log |H(\omega)| = 20 \log \left| \frac{\omega_{ref}^2 - \omega^2}{-j(\omega_{ref}^2 - \omega^2) + \omega^2 R \omega_{ref}^2} \right| \quad \begin{cases} \omega \rightarrow 0 & G \rightarrow 0 \\ \omega \rightarrow \infty & G \rightarrow 0 \\ \omega = \omega_{ref} & G \rightarrow -\infty \end{cases}$$

$$\phi = -\arctan \left(\frac{\omega R \omega_{ref}^2}{\omega_{ref}^2 - \omega^2} \right) \quad \begin{matrix} \omega \rightarrow 0 & \phi \rightarrow 0 \\ \omega = \omega_{ref} & \\ \omega \rightarrow \infty & \phi \rightarrow 0 \end{matrix}$$

III - Traitement non-linéaire

Par les transmissions radio, les fréquences des signaux mis en jeu sont dans le domaine audible, typiquement entre 20 Hz et 20 kHz. La transmission directe est problématique.

- antennes encombrantes :

- la taille de l'antenne dépend de la fréquence à envoyer

- besoin de beaucoup de puissance

Une méthode usuelle de transmission des informations audio (basse fréquence) est de transmettre un signal haute fréquence (signal porteur) et de le moduler pour correspondre à l'information audio. Trois caractéristiques d'une portaise peuvent être contrôlées pour transporter un signal contenant l'information (le signal modulé) : l'amplitude, la fréquence, la phase.

1° Modulation d'amplitude

C'est la première technique à avoir été inventée.

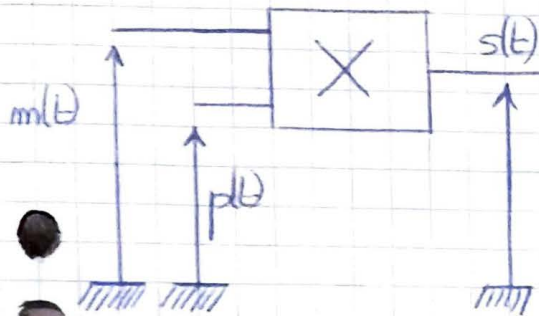
Le signal modulant est multiplié par un signal porteur :

$$m(t) = V_m \cos(\omega_m t)$$

$$p(t) = V_p \cos(\omega_p t)$$

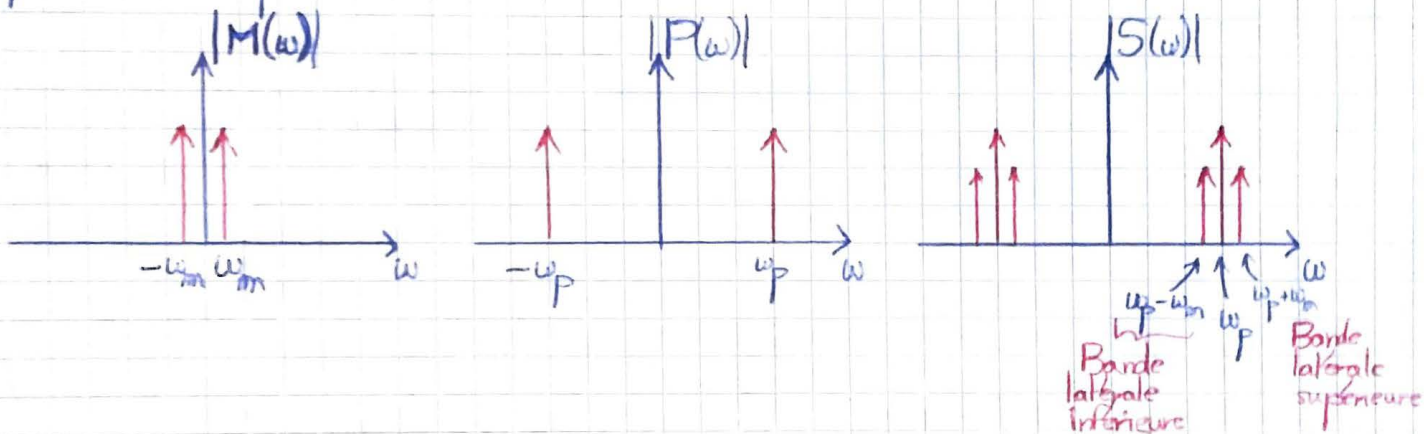
$$\omega_p \gg \omega_m$$

au moyen d'un circuit multiplieur



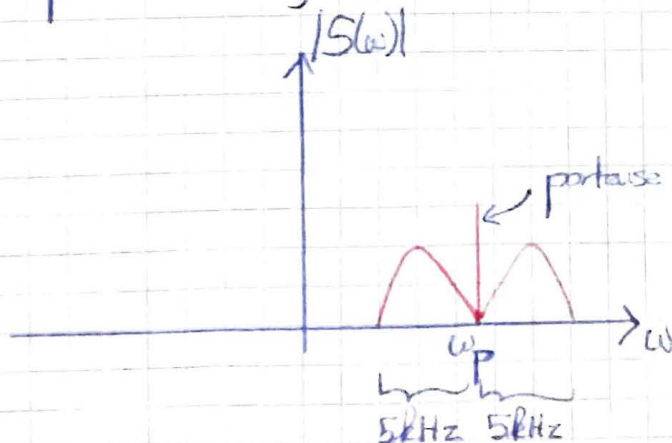
$$s(t) = k V_m V_p \cos(\omega_m t) \cos(\omega_p t)$$
$$= \frac{1}{2} k V_m V_p (\cos((\omega_m + \omega_p)t) + \cos((\omega_p - \omega_m)t))$$

Spectres en amplitude :



En réalité, $m(t)$ est souvent un spectre large, typiquement entre 0 et 5 kHz.

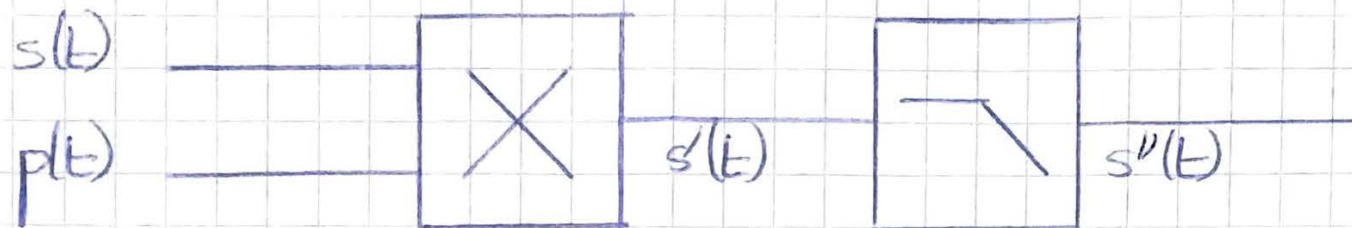
Le spectre du signal s est donc du type



Par éviter des interférences, les ondes porteuses des stations radio AM sont espacées d'au moins 10 kHz, sinon risque d'interférences.

2° Détection synchrone

Méthode de démodulation : pour récupérer le signal modulant.



$$\begin{aligned} s'(t) &= \frac{1}{2} k^2 V_m V_p^2 \cos(\omega_p t) \left(\cos[(\omega_p - \omega_m)t] + \cos[(\omega_p + \omega_m)t] \right) \\ &= V_s' \frac{1}{2} \left(\cos(2\omega_p - \omega_m)t + \cos(\omega_m t) + \cos(2\omega_p + \omega_m)t + \cos(\omega_m t) \right) \\ &= V_s' \cos(\omega_m t) + \frac{V_s'}{2} \cos(2\omega_p - \omega_m)t + \frac{V_s'}{2} \cos(2\omega_p + \omega_m)t \end{aligned}$$

Le filtre passe bas élimine les 2 derniers termes et on récupère ω_m .

Application: banc Doppler, éventuellement (voir ondes acoustiques et livre